

沈埋トンネル水平部の野外模型振動実験

運輸省港湾技術研究所 ○青木義典・土田 肇・林 聰

ま之がき

我が国においても沈埋工法による大規模な水底トンネルの建設はめずらしくなって来た。しかしこのような長大な地中構造物の耐震設計法については、あまり研究が進められてはいるとはいえない。

本報告は、運輸省第五港湾建設局衣浦港工事事務所で施工している沈理工法による海底トンネルの耐震設計法の検討のために行なわれた実験の一部についてのものであり、主としてトンネル水平部の振動時の挙動について述べる。約10mの縮尺となるように温化ビニールパイプを用いてこれを盛土内に埋設し、「S-大砲」と称するS波発生装置を使って模型に振動を与えた。模型に発生する歪と変位振動を地盤の変位振動と同時に測定した。

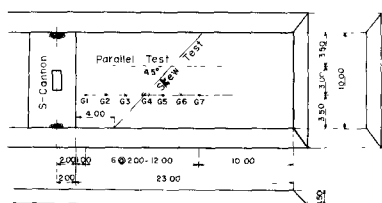
2 実験の方法

(II) 盛土。 本実験は、愛知県の衣浦港中央西埠頭の埋立地内で行った。実験地点の地質はボーリングの結果によると現地盤高が +5.50m で +3.0m まで埋立土砂、その下に層厚 4.70m のシルト質粘土、3.90m の細砂、12.80m のシルト質粘土があつて基盤の砂礫層に達している。この地点に図-1 に示すような高さ 1.5m の盛土を行った。盛土に使用した砂のフリイ分け試験結果は表-1 に示す。この砂を 3 層に分けて巻き出しブルドーザーによって締め固めた。加振源の基礎になる部分は粒度配合のよいものを用いて特に入念に締めかいた。試験盛土における深さ 25cm から 70cm における含水比は、6% 前後、単位体積重量（湿潤）は 1.43/cm³ 前後であった。盛土施工直後の載荷試験（JIS A 1215）による地盤係数は、平均 3.88 kg/cm³ であった。これが振動後に 6.0 kg/cm³ に上昇してしまった。

(2). 模型 模型には温化ビニールパイプを使用した。その型状寸法は、図-2に示す通りである。予備実験の結果地盤に発生させうる歪みの大きさに限度があり、あまり剛性の高い材料を使用すると歪の測定が困難になることがわかったのでヤング率の小さな合成樹脂を使用することとした。模型は外径63cmのパイプを単管として使った場合とこれを2本平行に接合したメガネ型断面(複管)の場合の2通りを使った。これらの模型は支間5.6mの単純梁による載荷試験により、剛性(EI)を検定した。その結果、単管の場合 $4.4 \times 10^9 \text{ kg} \cdot \text{cm}^2$ 、複管の場合 $7.7 \times 10^9 \text{ kg} \cdot \text{cm}^2$ となり、これからヤング率を逆算すると、単管は 2.25×10^9

711.1	加標漏過率
盤土	振盪測定值
19.1 mm	100%
9.52	65
4.76	51 ²
2.00	38 ²
.84	23.1
.42	9 ⁴
.25	4 ³
.105	2 ⁰
.074	1 ¹
後皿	0

表-1 砂の粒度.



圖一 試驗盤上植物的配置

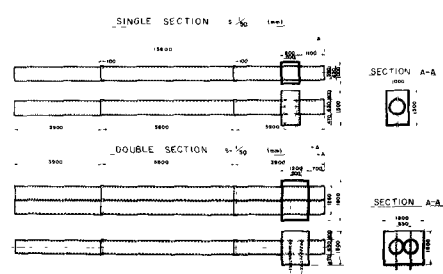


図-2 模型の形状寸法

Kg/cm^2 , 複管で $7.9 \times 10^3 Kg/cm^2$ となる。複管の場合の見かけのヤンゲ率が低くなるがこれは合成断面として十分に剛がないためと思われるので解析にはこの値をそのまま使用した。模型の一端には同じく塗化ビニール製の箱をヒリつけ、このような箱の影響を調べることとした。またその箱の中に2~4本の32mmの鉄筋を打込んで接着剤でかため、杭基礎の影響を調べることを試みた。模型の配置は図-1に示す通り、単断面、複断面それぞれの模型について、盛土軸に平行に配置した平行試験と斜め(45°)に配置した斜め試験の2種類である。埋設深さは模型の底面が地表より73cmの方に来るようになして土かぶりを約10cmとした。

(3) 使用器機 加振源としてはここで用いたS-大砲の他に起振機を用いる方法も考えられるが、予測実験による比較の結果、起振機では高い振動数の振動を得ることが難かしく波速との関係で大きな模型が必要となるので適当でないことがわかった。S-大砲は、内径230mmの鋼管に補強を行った台に固定したもので、その内に1ヶ約65kgの鉄塊を10ヶつめ、これを一端に固定された薬室の中でダイナマイト75~100gを爆発させて押し出すようにしたものである。発砲方向を変えて試験できるように左右対象にしてある。大砲々身と鉄製の台、弾丸を含めて約3tあり、実験ではこの上に約5tの荷重をのせ総重量を約8tとした。できるだけ発砲時のエネルギーを小さくしエネルギーが地盤に伝わるようにするためにある。図-3にS-大砲により発生する盛土の振動の記録を示す。この記録から、発砲方向を変えると振動がきれいに反転しS波であることがわかる。波速は主要動で150~160m/secである。

地盤と模型内の振動は固有周期2cpsの動線輪型地震計に固有周期30cpsのガルバメーターをオペーランピングの状態で接続してオシログラフに記録した。したがって記録は変位振動である。地盤振動は図-1に示すように7点(斜め実験ではG-3を除く6点)で地表より40cmの深さに埋めを測定した。模型の振動は、先端の箱を中心と加振源側先端より平行実験では5.4mの点と7.4m(S-3)の点で、また斜め実験では6.9mの点で模型の底面に置いて測定した。平行試験では模型軸直角方向の成分だけを、斜め試験では直角と平行の2成分を測定した。模型の歪みは、模型管体の内面測定壁にストレングージを軸方向に2枚づつ平行に貼付し、曲げ歪みを測定する場合にはこれらのゲージを4枚ゲージに組み、軸歪みを測定する場合にはこれららのうちの2枚を使って170cpsの固有周期を持つガルバメーターでオシログラフに記録した。測点の配置は、加振源側の先端より、 $2^m, 3^m, 5.9^m, 6.9^m, 7.9^m, 8.9^m, 10.8^m, 11.8^m$ の9点である。その他、水平方向地盤反力係数を推定するため単管模型の先端に水平力を加え、模型に発生する歪みと変位を測定した。実験の順序は、単管平行試験の固定筋あり、固定筋なし、複管平行固定筋あり、固定筋なし、単管斜め、複管斜め試験である。それぞれのケースにつき一向方に3回づつ2方向に発砲して記録をとった。静的水平加力試験は単管の平行試験が終った時、模型をそのままの状態にしておいて行った。

3. 実験結果と考察

(1) 平行試験における模型中央部の挙動 図-4~6に単管の場合の地盤と模型内の振動変位およ

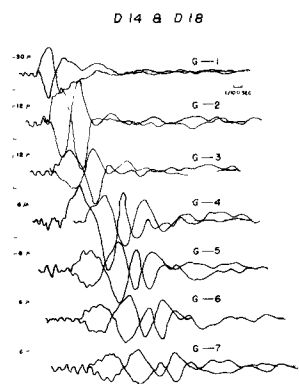


図-3 盛土の振動記録例

び模型の歪のパワースペクトル密度関数を図-7～9に地盤と模型の振動変位の振動変位と模型の歪みおよび地盤の振動変位と模型の歪みのパワースペクトル比の平方根を示す。図-4から地盤内に発生している振動は振動数15cpsを中心としたものである。ところが模型内の振動と模型の歪は20cpsの振動数が卓越してある。これらのことから推定でよろしくにスペクトルの比の平方根をとってみると図-7に示すように模型は20cpsと35cpsの2点で共振現象がみられる。また図-10～11に複数の場合の地盤と模型の振動変位のスペクトル比の平方根および地盤振動と模型歪みのスペクトル比の平方根を示す。この場合も20cpsと37cpsの2点にピークを持つ。

模型を弾性支承上に梁と考えれば、その運動方程式は

$$EI \frac{\partial^4 y}{\partial x^4} + m \frac{\partial^2 y}{\partial t^2} = K(u - y) \quad (1) \text{式}$$

ここに、 EI は模型の曲げ剛性 y は模型軸直角方向、 x は平行方向の座標、 m は単位長さ当たりの質量、 K は単位長さ当たりの地盤反力係数、 u は地盤の変位 $= u(t, x)$ である。この式から振動数は、

$$f = \frac{1}{2\pi} \sqrt{\left(\frac{n\pi}{L}\right)^4 \frac{EI}{m} + \frac{K}{m}} \quad (2) \text{式}$$

$$n = 1, 2, \dots$$

この振動数方程式は梁の長さの関数であるが、地盤を伝播するS波の波長に等しいものとし、 $2L = L = Vs/f$ (V_s は波速) および $\pi = 1$ として、 K には静的水平加力試験から得られた $k = 2.0 \text{ kN/cm}^2$ から $K = kD = 126 \text{ kN/m}^2$ を代入して、 m には図-12に示すような「附加質量」とすると図-13に示すように振動数と固有振動数の関係により図-7および10の2つのピークは説明できる。しかしこの共振現象は本実験のように $\sqrt{K/m}$ に比べて高い強制振動を与えるような特別な場合にはのみ生ずると考えられる。実際のトンネルでは附加質量は構造の2乗、地盤反力係数は1乗に比例すると考えられるから、 $\sqrt{K/m}$ は模型の $\sqrt{1/20} \approx 1/4.5$ となる。これに管体の曲げ剛性が寄与することにより固有振動は数サイクル以上になるので一般的にはこのような共振現象は起こらないものと考えられる。共振現象がない場合には、管体のまわりの土の変位を調和関数とすれば、次のような式が一般に提案されている。

$$\epsilon = \left\{ \frac{BA}{2} \left(\frac{2\pi}{L} \right)^2 / \left[\frac{EI}{K} \left(\frac{2\pi}{L} \right)^4 + 1 \right] \right\} \sin \left(2\pi ft - \frac{2\pi}{L} x \right) \quad (3) \text{式}$$

ここで B は管の振動方向の幅、 A は土の変位振幅、 t は管体に発生する曲げ歪み。この式を計算して図-9と11に示してある。この図から埋設管体の歪みを推定するのに式(3)が妥当であることがわかる。

(2) 箱の影響 図-14に振源からの距離に対する地動の最大振幅と模型歪みの最大を1つグラフにプロットしてみたものを示す。平均的には地動 ($\times 10^6 \text{ m}$) に対して 0.2 の

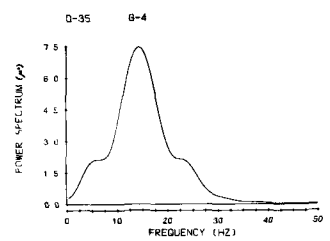


図-4 地盤振動のスペクトル

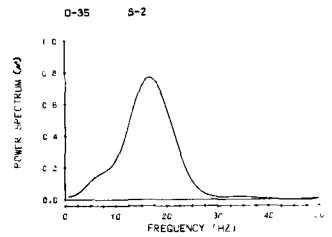


図-5 模型振動のスペクトル

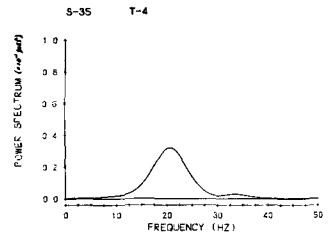


図-6 模型歪みのスペクトル

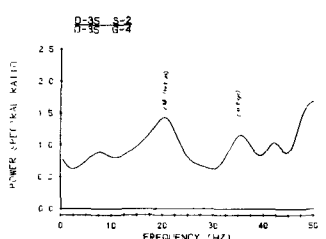


図-7 地盤振動と模型応答

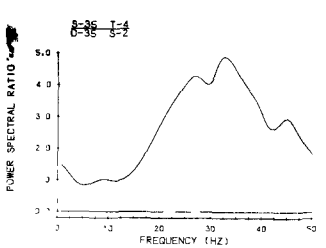


図-8 模型振動と模型歪み

歪み ($\mu\epsilon$) が発生しており特に箱との接続点 (加振源より 5m) で大きな歪みが発生していることはみられない。また、鉄筋による箱の固定は特に発生する歪みに影響を与えていない。

(3) 斜め試験 図-15に斜め試験で得られた軸歪みと曲げ歪みの記録を示す。軸歪みについては共振していい様子はみられない。歪みの最大値と地動変位の最大値の比でみると 0.2~0.32 $\mu\epsilon/\mu$ 程度となっていて、共振しないか、と仮定した場合の曲げ歪みに匹敵していい。曲げ歪みとの関係も考え合わせて管体の耐震設計上重要な電圧である。斜め試験の曲げ歪みは図-15からわかる通りは、より共振していい。

(4) まとめ データのデータシグナル等に時間を費すため少しだけに解析が重い。しかし、本実験から次のようことがわかった。沈埋トンネルのような構造体は地震によって共振することはないとされる。土中に埋設された非常に軽い箱状の構造物も共振現象は顕著ではない。管体に斜めに波が入射すると相当な軸力が発生する。

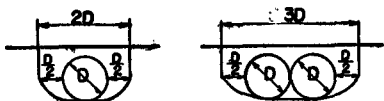


図-12 振動質量の取り方

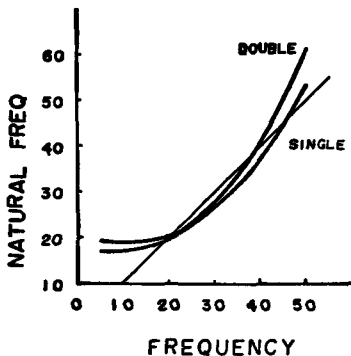


図-13 管体の共振周波数

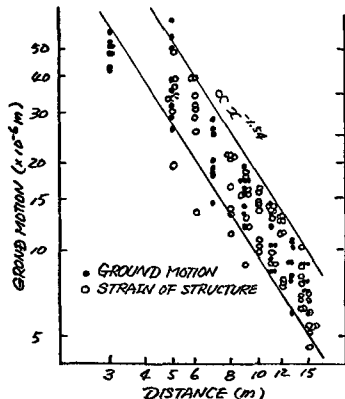


図-14 地動と構造歪みの関係

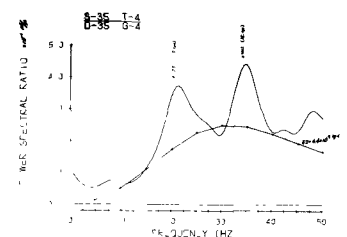


図-9 模型歪みと地盤振動

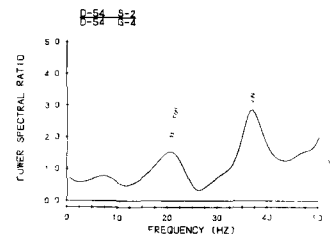


図-10 地盤振動と模型振動

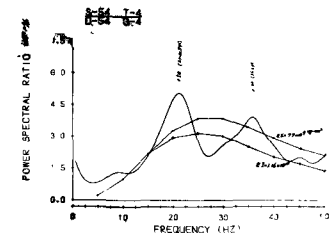


図-11 地盤振動と模型歪み

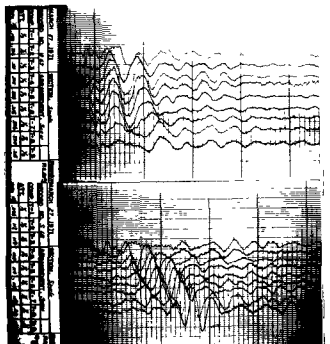


図-15 斜め試験記録の-131.